

Усиление излучения в иттербиевых лазерах с линейным резонатором

С.А.Ефремов, О.В.Штырина, С.Б.Медведев, И.А.Яруткина, А.С.Скидин, М.П.Федорук

На основе экспоненциального представления усиления сигнала вдоль активного волокна построено аналитическое приближение решения системы балансных уравнений, описывающих динамику средней мощности сигнала и накачки внутри линейного резонатора. Выведены оценки выходной мощности сигнала на концах линейного резонатора. Проведена оптимизация мощности выходного излучения для линейной лазерной конфигурации с иттербиевым услителем.

Ключевые слова: волоконный лазер, усиление сигнала, линейный резонатор.

1. Введение

В настоящее время существует множество типов волоконных лазеров, и их дальнейшая разработка все чаще требует применения численных методов, нацеленных на многопараметрическую оптимизацию характеристик [1–3]. При такой оптимизации необходимы крайне затратные с вычислительной точки зрения расчёты, проведение которых в широком диапазоне параметров, несмотря на активное развитие численного моделирования, с практической точки зрения неосуществимо даже с использованием распределённых вычислительных систем [3].

Альтернативой численному моделированию лазерных систем является аналитическое описание эволюции излучения в лазерных резонаторах различных типов [4, 5]. В настоящей работе построено аналитическое приближение для выходной мощности оптического сигнала с целью нахождения оптимальных режимов генерации лазера с линейным резонатором.

В работе рассматривается СВ-лазер с резонатором типа Фабри–Перо [6]. Обычно при решении задачи нахождения устойчивых режимов генерации в волоконном лазере используются различные методы решения нелинейного уравнения Шредингера совместно с двухуровневой моделью усиления сигнала внутри резонатора. Последняя представляет собой краевую задачу, состоящую из четырёх нелинейных дифференциальных уравнений первого порядка,

$$\frac{dS^\pm(z)}{dz} = \pm \left[\alpha_s \left(\frac{\mu P(z) + S(z)}{1 + P(z) + S(z)} - 1 \right) - q_s \right] S^\pm(z), \quad (1)$$

$$\frac{dP^\pm(z)}{dz} = \pm \left[\frac{\alpha_p}{\mu} \left(\frac{\mu P(z) + S(z)}{1 + P(z) + S(z)} - \mu \right) - q_p \right] P^\pm(z), \quad (2)$$

С.А.Ефремов, О.В.Штырина, С.Б.Медведев, И.А.Яруткина, А.С.Скидин, М.П.Федорук. Новосибирский государственный университет, Россия, 630090 Новосибирск, ул. Пирогова, 2; Институт вычислительных технологий СО РАН, Россия, 630090 Новосибирск, просп. Акад. Лаврентьева, 6; e-mail: efremov.math@gmail.com, olya.shtyrina@gmail.com, medvedev@ict.nsc.ru, i.yarutkina@gmail.com

Поступила в редакцию 25 октября 2017 г.

с граничными условиями на краях расчётной области

$$\begin{aligned} P_0^+ &= P^+(0), \quad P_L^- = P^-(L), \\ S_0^+ &= S^+(0), \quad S_L^- = S^-(L), \end{aligned} \quad (3)$$

где $S = S^+ + S^-$; $P = P^+ + P^-$; $P = P_p/P_p^{\text{sat}}$ и $S = P_s/P_s^{\text{sat}}$ – мощности накачки и сигнала соответственно; знаки «+» и «-» обозначают направление распространения излучения; P_s^{sat} и P_p^{sat} – мощности насыщения сигнала и накачки; L – длина активного волокна.

Система уравнений (1), (2) является альтернативной записью широко используемых уравнений, приведенных в работе [2]. В формулах (1), (2) учитываются зависимости населенностей энергетических уровней от мощностей накачки и сигнала в явном виде для иллюстрации развития процессов насыщения усиления сигнала и истошения накачки. Несмотря на то что данная запись не содержит в явном виде ряда параметров, наблюдаемых в экспериментах, она более удобна для разработки теоретических подходов. При этом подробное описание связи теоретических коэффициентов и коэффициентов, получаемых в экспериментальных исследованиях, приведено в работе [6].

Длина волны излучения на выходе $\lambda_s = 1083$ нм, а длина волны накачки $\lambda_p = 910$ нм, коэффициенты поглощения сигнала и накачки сечением волокна α_s и α_p выбраны равными 0.062 и 0.115 м⁻¹ соответственно [6]. Мощности насыщения сигнала и накачки P_s^{sat} и P_p^{sat} составляют 0.055 и 4.9 Вт соответственно, следовательно, безразмерный параметр

$$\mu = \frac{\lambda_s}{\lambda_p} \frac{\alpha_s}{\alpha_p} \frac{P_s^{\text{sat}}}{P_p^{\text{sat}}} = 7 \times 10^{-3}.$$

Несмотря на то что наличие ненасыщенных потерь q_s и q_p значительно усложняет рассматриваемую систему уравнений, они существенно влияют на результат, поэтому пренебречь данными величинами нельзя. Величины ненасыщенных потерь выбраны следующими: $q_p = 0.8$ дБ/м [7], $q_s = 0.25$ дБ/м [8, 9].

Для представленной краевой задачи целесообразно применение теоретического анализа динамики излучения

и баланса энергии в активной среде с целью разработки приближенных аналитических решений, позволяющих отказать от трудоемких вычислений.

2. Постановка краевой задачи для линейной конфигурации

Из системы (1), (2) можно получить следующие интегрируемые соотношения:

$$\frac{dS^+(z)}{S^+(z)} = -\frac{dS^-(z)}{S^-(z)}, \quad \frac{dP^+(z)}{P^+(z)} = -\frac{dP^-(z)}{P^-(z)}, \quad (4)$$

$$\frac{dS^+}{S^+} - \zeta \frac{dP^+}{P^+} = \phi dz, \quad (5)$$

где

$$\phi = \alpha_s(\mu - 1) + \zeta q_p - q_s; \quad \zeta = \mu \frac{\alpha_s}{\alpha_p}; \quad \mu = \frac{\lambda_s \alpha_s P_p^{\text{sat}}}{\lambda_p \alpha_p P_s^{\text{sat}}}.$$

Обозначим распределение усиления мощности сигнала вдоль волокна через функцию

$$G(z) = \frac{S^+(z)}{S^+(0)} = \frac{S^-(L)}{S^-(z)}.$$

Тогда коэффициент полного усиления сигнала за проход вдоль активного волокна будет определяться выражением $G_s = G(L)$. Определим общий вид решения:

$$S^+(z) = S_0^+ G(z), \quad S^-(z) = S_L^- \frac{G_s}{G(z)}, \quad (6)$$

$$P^+(z) = P_0^+ G^{\zeta-1}(z) \exp\left(-\frac{\phi}{\zeta} z\right), \quad (7)$$

$$P^-(z) = P_L^- \frac{G_s^{\zeta-1} \exp\left(-\frac{\phi}{\zeta} L\right)}{G^{\zeta-1}(z) \exp\left(-\frac{\phi}{\zeta} z\right)}.$$

Из всего сказанного выше следуют граничные условия

$$G(0) = 1, \quad G(L) = G_s.$$

С учетом всех введенных обозначений и полученных интегральных соотношений удастся свести задачу (1), (2), состоящую из четырех нелинейных дифференциальных уравнений, к краевой задаче вида

$$\frac{dG(z)}{dz} = \left[\alpha_s \left(\frac{\mu P(z) + S(z)}{1 + P(z) + S(z)} - 1 \right) - q_s \right] G(z), \quad (8)$$

$$G(0) = 1, \quad G(L) = G_s,$$

где

$$S(z) = S_0^+ G(z) + S_L^- \frac{G_s}{G(z)};$$

$$P(z) = P_0^+ G^{\zeta-1}(z) \exp\left(-\frac{\phi}{\zeta} z\right) + P_L^- \frac{G_s^{\zeta-1} \exp\left(-\frac{\phi}{\zeta} L\right)}{G^{\zeta-1}(z) \exp\left(-\frac{\phi}{\zeta} z\right)}.$$

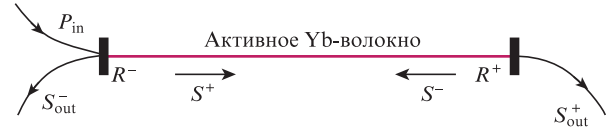


Рис.1. Схема линейного оптического резонатора.

Выше мы исследовали краевую задачу (1), (2) с граничными условиями (3). Однако на практике генерируемая мощность излучения неизвестна. Иными словами, неизвестны значения $S^+(0)$ и $S^-(L)$. С другой стороны, можно изначально определить усиление сигнала G_s за проход вдоль активного волокна, которое, вообще говоря, для разных конфигураций резонаторов различно.

Обозначим общие потери внутри резонатора через Σ ; данная величина описывает общие потери мощности сигнала в устройстве: тепловые потери на различных элементах конструкции, оптические потери внутри волокна, потери на устройствах вывода (WDM-ответвители, линзы, оптические решетки) и т. д. Стоит отметить, что необходимым условием устойчивого режима генерации в оптическом резонаторе, вне зависимости от его типа, является компенсация потерь усилением.

В активной среде линейного резонатора сигнал распространяется в обоих направлениях, поэтому для конфигурации данного типа, согласно рис.1, справедливы соотношения $S^+(0) = S^+(0)G_s^2\Sigma = S^+(0)G_s^2R^+R^-$ и $S^-(L) = S^-(L)G_s^2\Sigma = S^-(L)G_s^2R^-R^+$; следовательно,

$$G_s = \frac{1}{\sqrt{\Sigma}} = \frac{1}{\sqrt{R^-R^+}}. \quad (9)$$

В дальнейшем нам понадобится запись (8) в интегральной форме:

$$\begin{aligned} \ln(G(z)) + (\alpha_s + q_s)z + \zeta \left[P_0^+ \left(G_p(z) - 1 + q_p \int_0^z G_p(z) dz \right) \right. \\ \left. + P_L^- G_p(L) \left(1 - \frac{1}{G_p(z)} + q_p \int_0^z \frac{1}{G_p(z)} dz \right) \right] \\ + S^+(0) \left(G(z) - 1 + q_s \int_0^z G(z) dz \right) \\ \left. + S^-(L) G_s \left(1 - \frac{1}{G(z)} + q_s \int_0^z \frac{1}{G(z)} dz \right) \right] = 0, \quad (10) \end{aligned}$$

где $G_p(z) = G^{\zeta-1}(z) \exp(-\phi z/\zeta)$.

Далее определим граничные условия для линейной конфигурации на рис.1. С использованием (9) граничные условия для линейного резонатора запишутся следующим образом:

$$P_0^+ = P^+(0), \quad P_L^- = P^-(L), \quad (11)$$

$$S^+(0)G_sR^+ = S^-(L), \quad S^-(L)G_sR^- = S^+(0).$$

Из уравнения (10) и граничных условий (11) получим выражение

$$S^+(0) = - \left\{ (1 + G_sR^+) \left[G_s - 1 + q_s \int_0^L G(z) dz \right] \right\}^{-1} \times$$

$$\times \left\{ \ln G_s + (\alpha_s + q_s)L + \zeta(P_0^+ + P_L^-) \right. \\ \left. \times \left[G_s^{\zeta^{-1}} \exp\left(-\frac{\phi}{\zeta}L\right) - 1 + q_p \int_0^L G_s^{\zeta^{-1}}(z) \exp\left(-\frac{\phi}{\zeta}z\right) dz \right] \right\}. \quad (12)$$

3. Построение аналитического приближения

В разд.2 были описаны две постановки краевой задачи для уравнения (8); на их основе могут быть построены численные методы, позволяющие находить решения этих задач за приемлемое время. Однако проводить оптимизацию по многим параметрам с помощью итерационных методов при большом количестве степеней свободы, которыми обладает данная модель, все же затруднительно. Хорошим решением данной проблемы является применение какого-либо подходящего аналитического приближения неизвестной функции $G(z)$, описываемой уравнением (8). В настоящей работе выбрано экспоненциальное приближение, и такой выбор связан с попыткой создания аналитического метода, позволяющего проводить оптимизацию параметров модели, значительно уменьшив время вычислений, с сохранением приемлемой точности.

Допустим, что функция $G(z)$ является экспоненциальной. С учетом условий из уравнения (8) получим $G(z) = \exp(z \ln G_s / L)$. Такой выбор функциональной зависимости позволяет аналитически получить более простые выражения для интегралов в уравнении (12), исключив необходимость численного интегрирования. Подставив данное приближение в (12), получим выражение для мощности сигнала в резонаторе:

$$S^+(0) = - \left[\left(1 + \frac{q_s L}{\ln G_s} \right) (G_s - 1) (1 + G_s R^+) \right]^{-1} \\ \times \left\{ \ln G_s + \zeta(P_0^+ + P_L^-) \left[G_s^{\zeta^{-1}} \exp\left(-\frac{\phi}{\zeta}L\right) - 1 \right] \right. \\ \left. \times \left(1 + \frac{\zeta q_p L}{\ln G_s - \phi L} \right) + (\alpha_s + q_s)L \right\}. \quad (13)$$

В конечном счете данное аналитическое приближение позволяет быстро аппроксимировать решение задачи (8) для условий, соответствующих различным параметрам устройств лазерных резонаторов.

Для ответа на вопрос о точности построенного аналитического приближения мощности сигнала рассмотрим (12) в отсутствие ненасыщенных потерь, т.е. при $q_s = q_p = 0$. В таком случае система (8) имеет аналитическое решение [10, 11]:

$$S^+(0) = \frac{\ln G_s + \zeta(P_0^+ + P_L^-) \left[G_s^{\zeta^{-1}} \exp\left(-\frac{\phi}{\zeta}L\right) - 1 \right] + (\alpha_s + q_s)L}{(1 + G_s R^+) (G_s - 1)}.$$

Это решение в точности совпадает с построенным приближением (13) при нулевых линейных потерях ($q_s = q_p = 0$).

Ниже сравним полученное аналитическое выражение с результатами прямого численного моделирования ис-

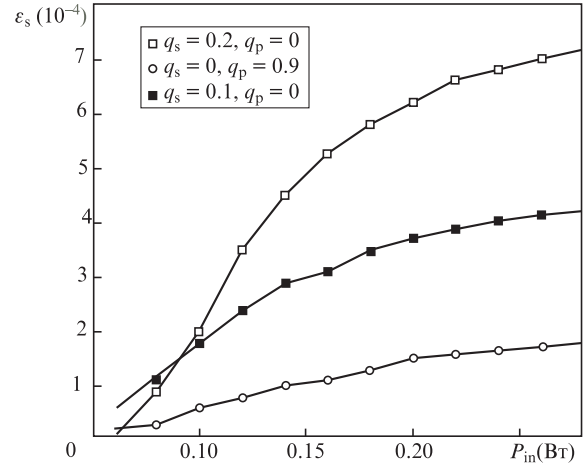


Рис.2. Погрешности аналитического приближения для резонатора линейного типа в зависимости от входной мощности накачки при различных значениях ненасыщенных потерь и $L = 2.5$ м.

ходной системы. Определим относительную погрешность мощности сигнала выражением

$$\varepsilon_s = \frac{|S_{\text{num}} - S_{\text{anal}}|}{S_{\text{num}}},$$

где $S_{\text{num}} = S^+(0) + S^-(L)$ и $S_{\text{anal}} = S^+(0) + S^-(L)$ – суммы сигналов на границах, вычисленные при помощи численного алгоритма и аналитического приближения соответственно. На рис.2 приведены зависимости, характеризующие точность полученного приближения на примере линейного резонатора.

Видно, что величина погрешности зависит от ненасыщенных потерь, причем q_s более существенно влияет на погрешность, чем q_p . Данный факт объясняется различием значений аналитических выражений для интегралов, стоящих перед q_s и q_p , которые и вносят погрешность. Сравнение полученного аналитического выражения с прямым численным моделированием исходной системы показало соответствие результатов с точностью до 0.1%, что свидетельствует о возможности эффективного применения аналитических результатов при решении оптимизационных задач.

4. Оптимизация CW-лазера с резонатором типа Фабри – Перо

Целью оптимизации является максимизация мощности выходного излучения сигнала. Поэтому будем решать краевую задачу (8) с граничными условиями вида (11), соответствующими линейной конфигурации. При моделировании использовалось устройство накачки мощностью до 150 мВт [10]. Выходная мощность излучения для резонатора, схема которого представлена на рис.1, определяется выражениями

$$S_{\text{out}}^- = P_s^{\text{sat}} S^+(0) G_s^2 R^+ (1 - R^-),$$

$$S_{\text{out}}^+ = P_s^{\text{sat}} S^+(0) G_s (1 - R^+).$$

Из рис.3,а видно, что при малой мощности накачки устойчивая генерация лазерного излучения возможна

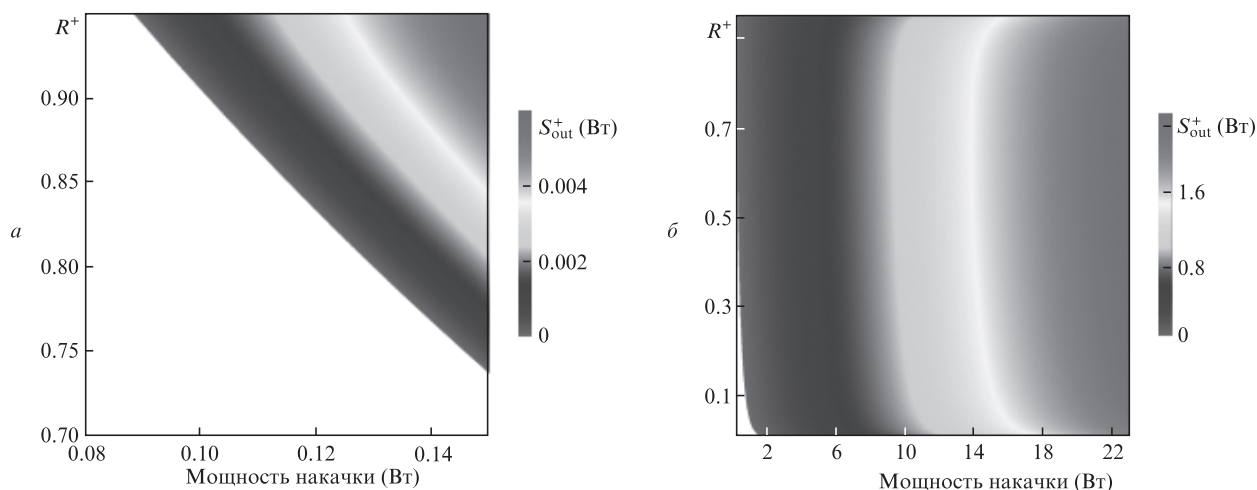


Рис.3. Зависимости выходной мощности S_{out}^+ линейного резонатора на его правом торце от входной мощности излучения накачки $P_{\text{in}} = P_{\text{p}}^{\text{sat}} P_0^+$ и коэффициента отражения излучения внутрь резонатора R^+ на правом торце при $R^- = 0.99$ и $L = 2.5$ м.

только при малых потерях. Полученная максимальная мощность выходного излучения также невелика и в данном случае составляет 6.02 мВт на правом торце резонатора. Для моделируемого устройства накачки достаточно очевидно и положение оптимальной точки: она соответствует минимальным суммарным потерям и максимальной мощности накачки в резонаторе и находится в правом верхнем углу области генерации на рис.3,а.

При проведении второго этапа оптимизации было использовано устройство накачки из [6], максимальная мощность которого составляет 23 Вт. Из рис.3,б видно, что увеличение мощности накачки позволяет не только увеличить выходную мощность сигнала, но и значительно расширить область генерации, что дает возможность добиться устойчивой генерации при больших потерях, чем ранее. К тому же максимальная выходная мощность излучения сигнала возросла до 2.55 Вт. Оптимальная мощность излучения достигается при максимальной мощности накачки и коэффициенте отражения на правом торце $R^+ = 0.7$.

На рис.4 представлены зависимости выходной мощности сигнала как функции длины участка активного иттербиевого волокна в линейном резонаторе. При оптимальном коэффициенте отражения $R^+ = 0.7$ и мощности накачки 23 Вт достигается максимальная мощность излучения, которая превышает аналогичное экспериментальное значение из [6] в два раза.

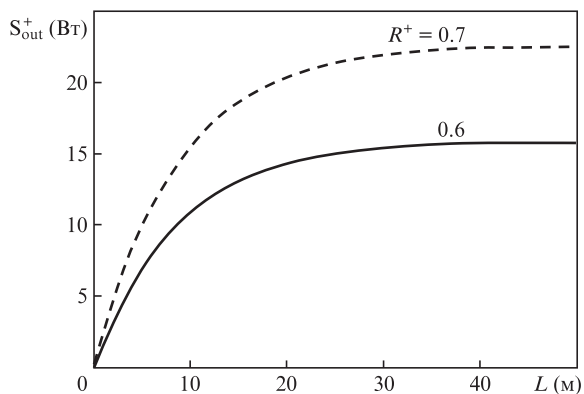


Рис.4. Зависимости выходной мощности S_{out}^+ линейного резонатора на его правом торце от длины иттербиевого активного волокна L для двух значений R^+ при $R^- = 0.99$ и $P_{\text{in}} = 23$ Вт.

5. Заключение

В настоящей работе построено аналитическое приближение мощности выходного излучения сигнала. Проведена оценка точности данного приближения и показана его применимость при определении области генерации и оптимальных параметров излучения в резонаторах различной конфигурации. На его основе для линейной лазерной конфигурации определена область устойчивой генерации и проведена оптимизация потерь на ответвителе резонатора, мощности излучения накачки и длины активного волокна с целью достижения максимальной мощности выходного сигнала.

Полученные аналитические результаты могут быть успешно использованы для оптимизации лазерных систем, а также при построении различных численных алгоритмов с целью решения комплексных задач о нахождении динамики средней мощности накачки и сигнала в активной среде внутри лазерного резонатора.

Работа выполнена при поддержке гранта Президента РФ государственной поддержки ведущих научных школ РФ № НШ-9161.2016.9. Работа О.В.Штыриной, С.Б.Медведева и М.П.Федорука поддержана Российским научным фондом (проект № 17-72-30006).

1. Siegman A.E. *Lasers* (Sausalito, CA: University Science Books, 1986).
2. Курков А.С., Дианов Е.М. *Квантовая электроника*, **34** (10), 881 (2004) [*Quantum Electron.*, **34** (10), 881 (2004)].
3. Bale B.G., Okhotnikov O.G., Turitsyn S.K., in *Fiber Lasers*, O.G.Okhotnikov (Ed.) (Weinheim: Wiley, 2012, ch. 5).
4. Turitsyn S.K. *Opt. Express*, **17** (14), 11898 (2009).
5. Yarutkina I.A., Shtyrina O.V., Skidin A., Fedoruk M.P., *Opt. Commun.*, **342**, 26 (2015).
6. Turitsyn S.K., Bednyakova A.E., Fedoruk M.P., Latkin A.I., Fotiadi A.A., Kurkov A.S., Sholokhov E. *Opt. Express*, **19** (9), 8394 (2011).
7. Трикшев А.И., Камынин В.А., Цветков В.Б., Егорова О.Н. *Квантовая электроника*, **46** (12), 1085 (2016) [*Quantum Electron.*, **46** (12), 1085 (2016)].
8. Kurkov A.S. *Laser Phys. Lett.*, **4** (2), 93 (2007).
9. Мелькумов М.А., Буфетов И.А., Кравцов К.С., Шубин А.В., Дианов Е.М. *Квантовая электроника*, **34** (9), 843 (2004) [*Quantum Electron.*, **34** (9), 843 (2004)].
10. Barnard C., Myslinski P., Chrostowski J., Kavehrad M. *IEEE J. Quantum Electron.*, **30**, 1817 (1994).
11. Pfeiffer T., Bullow H. *IEEE Photon. Technol. Lett.*, **4**, 449 (1992).